

el aspecto experimental de la “LIBERTAD ASINTOTICA”

- ⇒ Resultado experimental a obtener teóricamente:
 - “Scaling” (invariancia de escala)
- ⇒ *Confinamiento; Chorros*
- ⇒ Predicción a confirmar experimentalmente:
 - Violación logarítmica de “Scaling”
 - Variación de α_s
 -

la clave experimental de la Libertad Asintótica:

“SCALING”

**(propiedad que, ineludiblemente, ha de poseer cualquier
candidata a Teoría de las Interacciones Fuertes)**

Experimentación en Partículas; estado en ≈ 1960

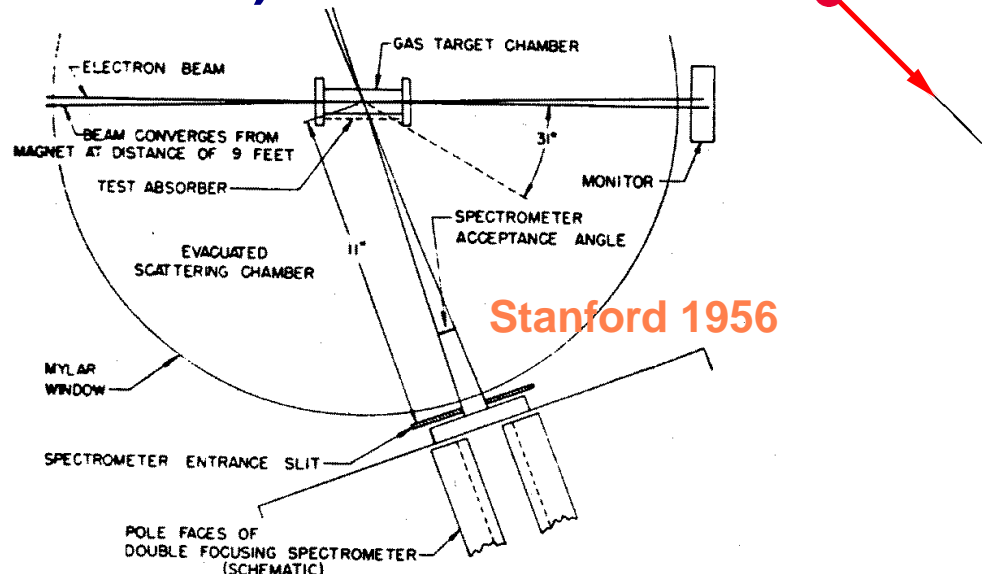
- Aceleradores hadrónicos (**hadrón/nucleón-nucleón**):
Cosmotrón, Bevatrón
 - Resultado principal: “explosión de la población”
 - También: secciones eficaces a alta energía
- Modelo de quarks Gell-Mann Zweig para explicar la explosión
- Sólo vemos hadrones ... ¿dónde están los quarks?

Se empieza a entender con los experimentos **leptón-nucleón**

Experimentos leptón-nucleón: interacción elástica

E. inicial

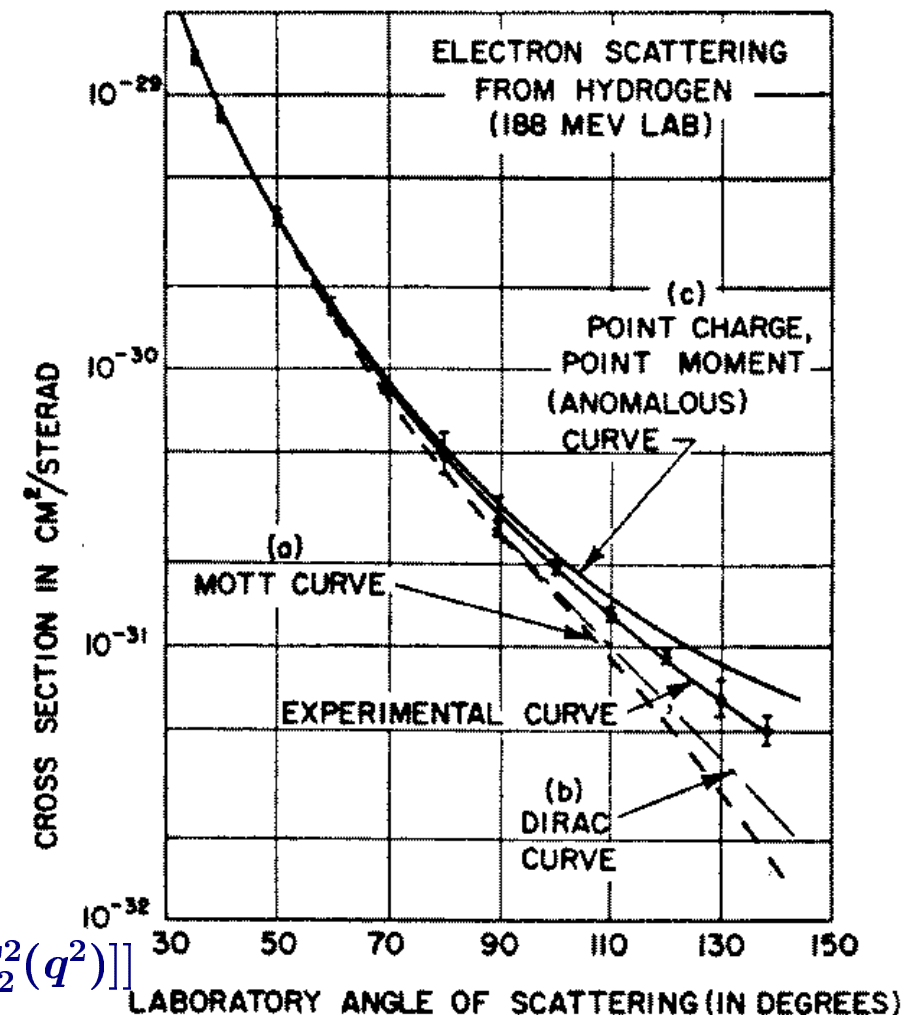
$$e^- \quad p \\ (0.188 \text{ GeV})$$



E. final

Cinemática determinada por **UNA** única variable: p . ej. θ

$$\frac{d\sigma}{d\Omega} = \left. \frac{d\sigma}{d\Omega} \right|_{mott} \cdot S$$



Si p puntual:

$$S = \frac{E'}{E} \left[1 - \frac{q^2}{2m_p^2} \tan^2 \frac{\theta}{2} \right]; \quad q = k_i - k_f$$

Si p con extensión espacial:

$$S = \frac{E'}{E} \left[(F_1^2(q^2) + \frac{q^2}{4m_p^2} [2(F_1^2(q^2) + \mu F_2^2(q^2))^2 \tan^2 \frac{\theta}{2} + \mu F_2^2(q^2)]) \right]$$

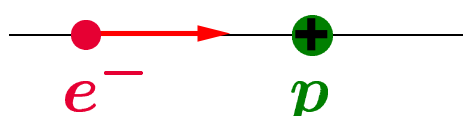
(Rosenbluth PR 1950)

→ Evidencia de extensión espacial del p

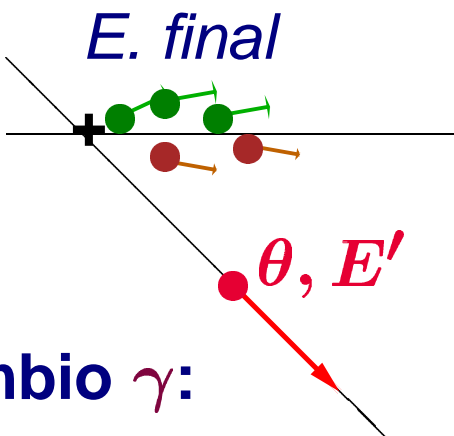
(Hofstadter, Nobel 1961)

Experimentos leptón-nucleón: interacción Inelástica

E. inicial



E. final



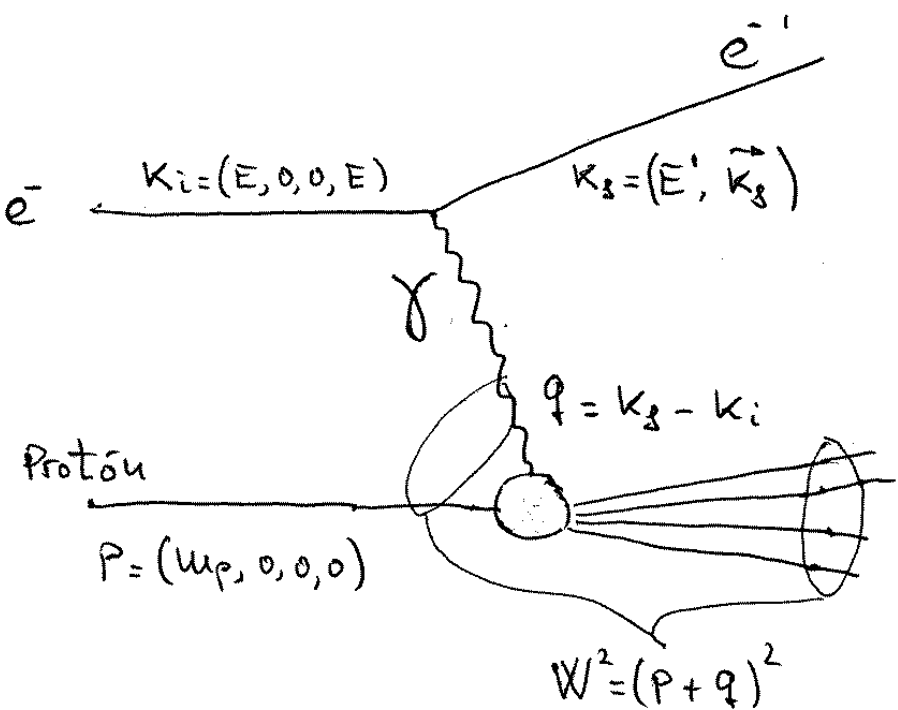
La partícula blanco pierde su identidad \Rightarrow

Cinemática determinada por
DOS variables: p.ej. θ, E'

Otra elección: θ, W

Otra: ν, Q^2 ; ($\nu = E - E'$)

En términos intercambio γ :



(la que ha prevalecido es Q^2, x_{bj})

$$\frac{d^2\sigma}{d\Omega dE'} = \left. \frac{d^2\sigma}{d\Omega dE'} \right|_{mott} \cdot [W_2(\nu, Q^2) + 2W_1(\nu, Q^2) \tan^2 \frac{\theta}{2}]$$

(von Gehlen, Bjorken, Gourdin 1960/1)

Experimento de SLAC-MIT

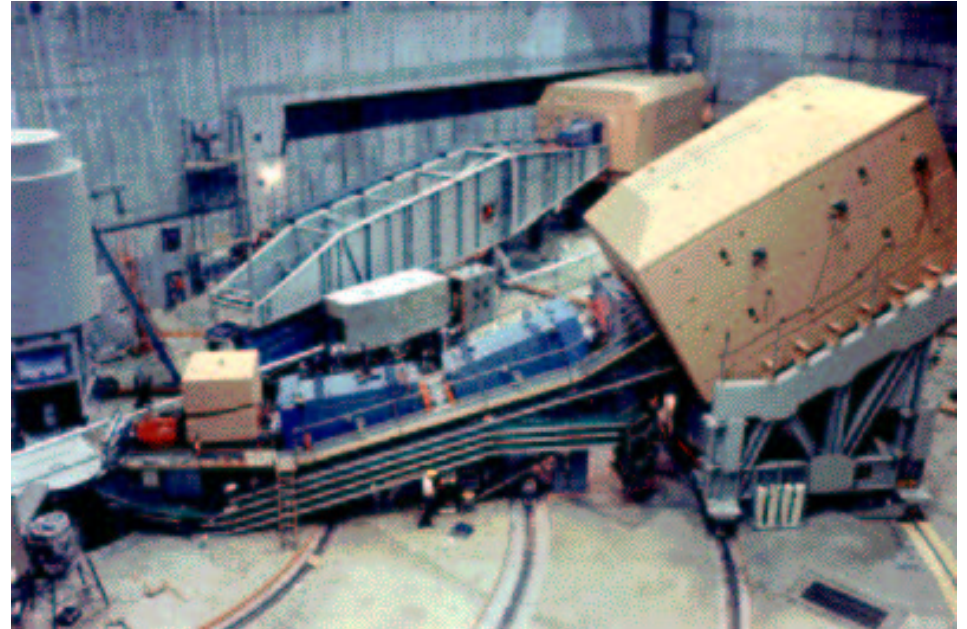
El “linac” de 2 millas



$E_e = 7 - 18 \text{ GeV}$

Stanford → SLAC
(Panofsky, ≈ 1960)

estudio dispersión inelástica



ángulos medidos:
 $\theta = 6^\circ, 10^\circ$

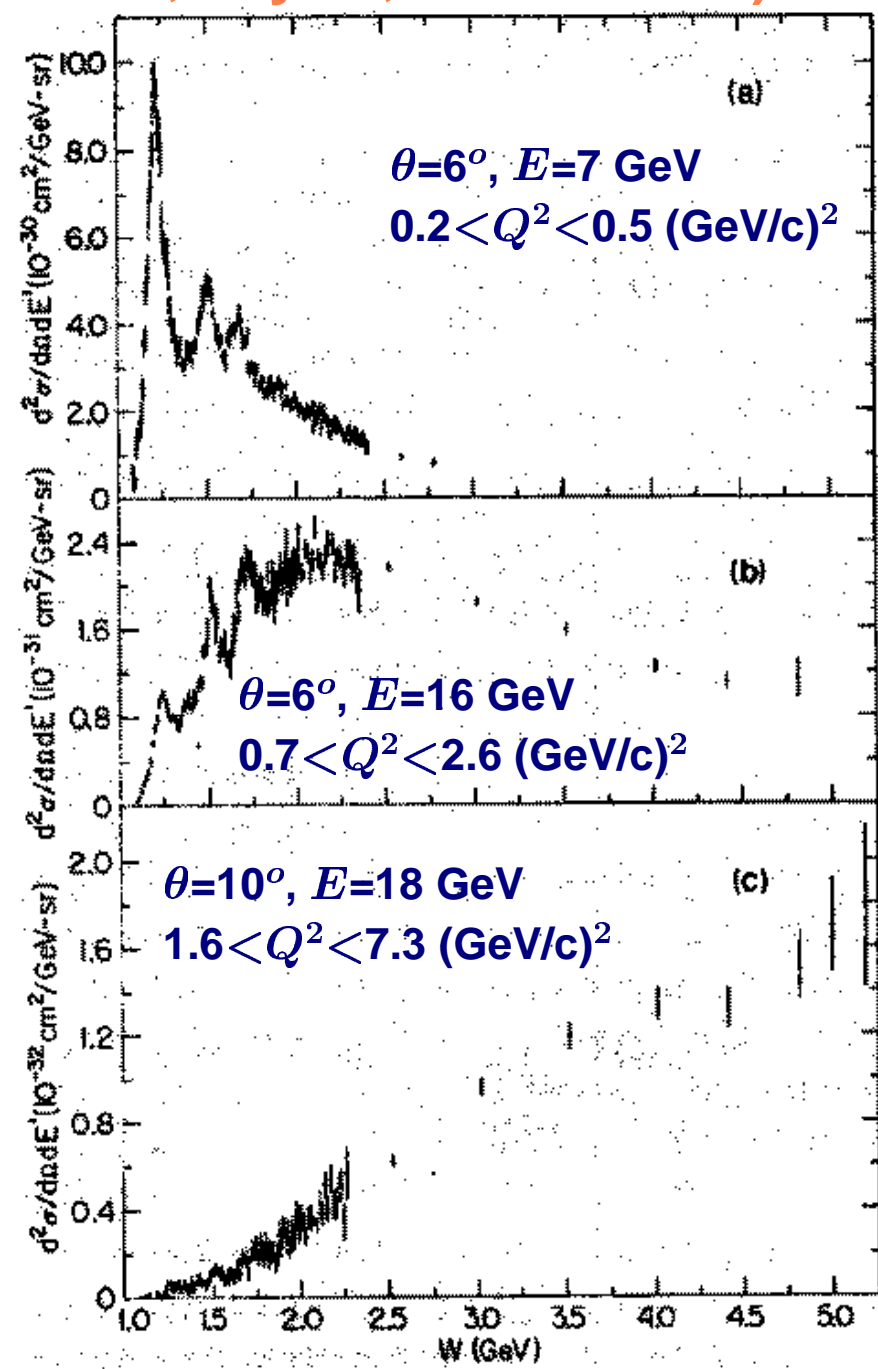
Experimento de SLAC-MIT: el descubrimiento

(L.A. 1973)

2 x PRL oct. 1969 (Friedman, Kendall, Taylor, Nobel 1990)

- zona W pequeña:
 - producción resonancias
 - σ decrece con θ (o Q^2)
(similar a dispersión elástica)
- zona W grande:
 - σ grande y continua
 - σ suave con θ (o Q^2)
⇒ similar a experimento Rutherford!

Panofsky; conf. Viena 1968



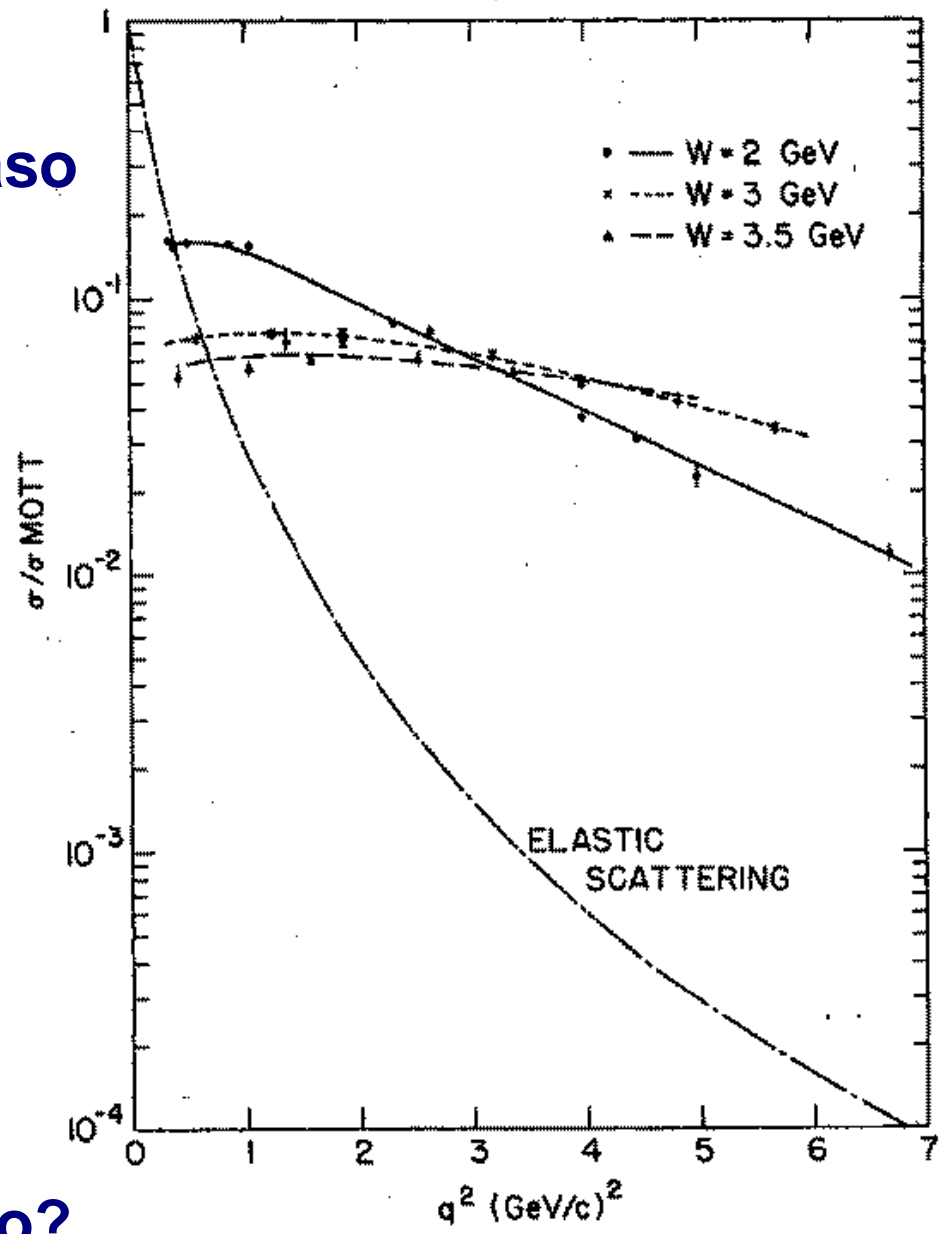
Experimento de SLAC-MIT: el descubrimiento

Concentrándonos en W grande:

- $\sigma_{inelastica}$ órdenes de magnitud mayor que $\sigma_{elastica}$
→ el p no es nube difusa, en ese caso esperaríamos peq. desviaciones frente a $\sigma_{elastica}$
¿ el p esta formado por sub-partículas ?

- conforme W aumenta
 - $\sigma_{inelastica}/\sigma_{elastica} \rightarrow$ constante e independiente de Q^2
 - como si
 $\sigma_{inelastica} = \sum_i \sigma_{elastica}^i$.
(i = sub-partículas del p)

¿Son las dos observaciones consecuencia de un mismo fenómeno?

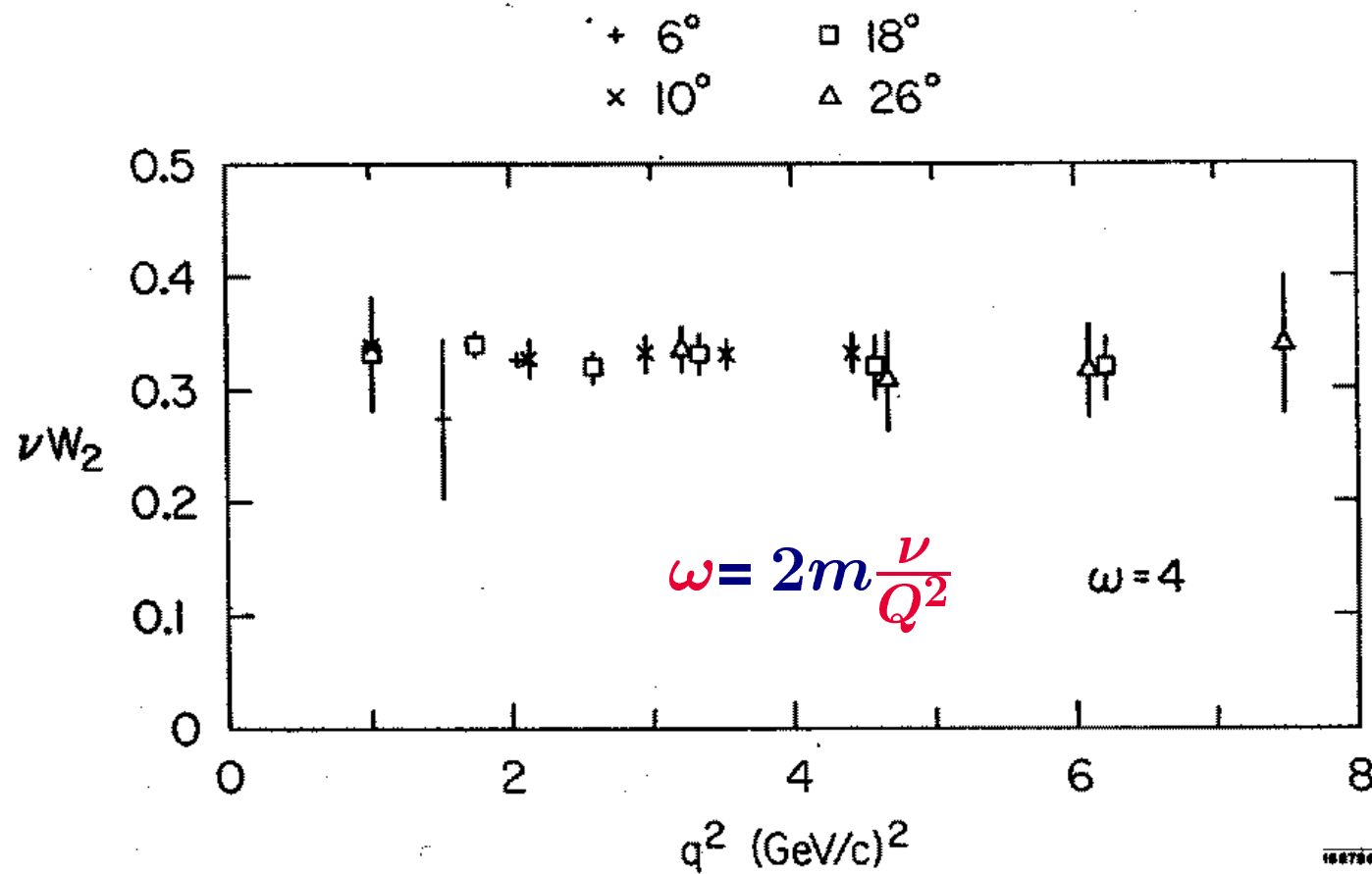


Experimento de SLAC-MIT: la interpretación

(L.A. 1973)

- Bjorken (P.R. mar. 1969): álgebra de corrientes, sis. ref. $P \rightarrow \infty$
Cuando ν y q^2 grandes \rightarrow SCALING

$$\nu W_2(\nu, Q^2) \rightarrow F_2(2m \frac{\nu}{Q^2}); \quad W_1(\nu, Q^2) \rightarrow F_1(2m \frac{\nu}{Q^2})$$



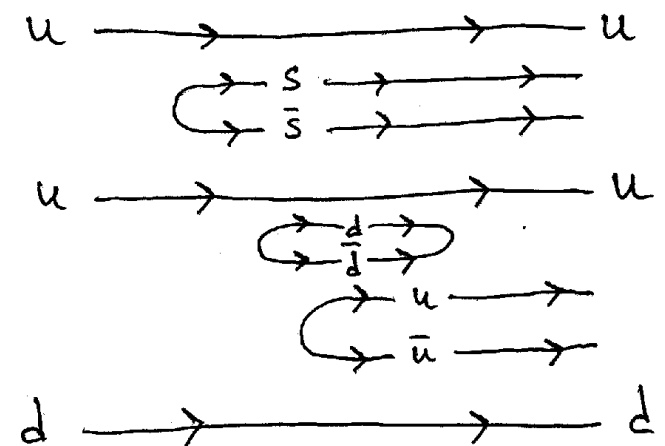
⇒ Evidencia inequívoca de Scaling

Lo que parece que los datos nos están diciendo:

- σ_{inel} grande \rightarrow “constituyentes” dentro del p
- Scaling \rightarrow constituyentes “libres”

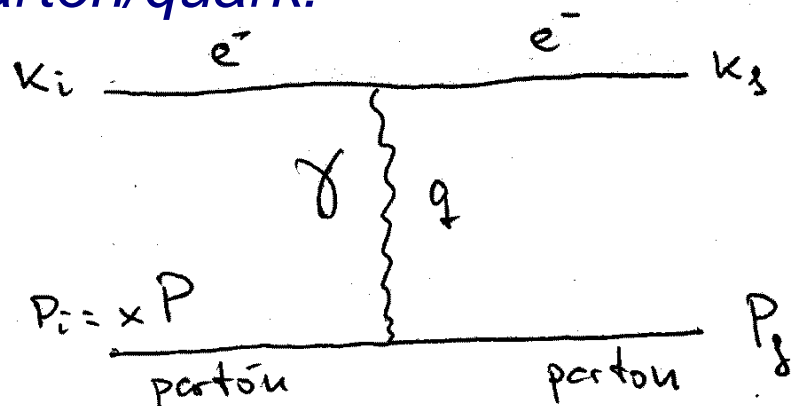
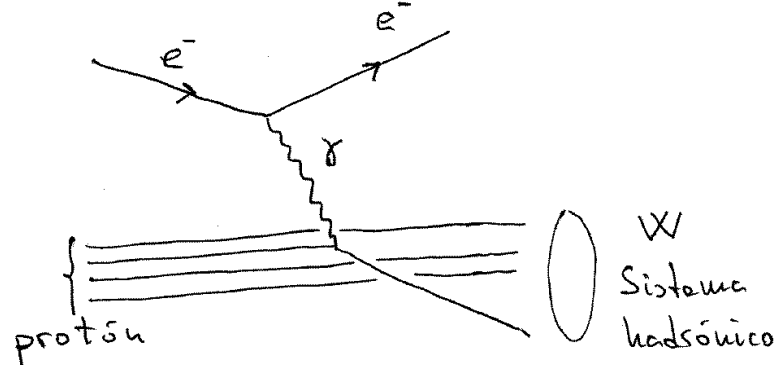
Una aproximación “más física” al scaling de Bjorken:

- Bjorken, Paschos (P.R. sep. 1969), Feynman: partones/quarks
 - a alta energía hadrones compuestos de “partones” NO interactuantes
 \Rightarrow Libertad Asintótica
 - candidatos a partones: los quarks
 - p.ej. el protón: u,u,d + quarks del “mar”
 - comparten el momento total del p portando una fracción x de él
 - $P[xP_{proton} < P_{parton} < (x + dx)P_{proton}] = f(x)dx$
 - $f(x)$ independiente de proceso y energía



Modelo de partones/quarks

Interacción inelástica en el modelo parton/quark:



- de cinemática relativista básica:

$$x \approx \frac{1}{2m_p} \frac{Q^2}{\nu} = \frac{1}{\omega} \quad \text{y en el límite de alta energía:} \quad x = \frac{1}{\omega}$$

- ⇒ La variable ω^{-1} de scaling de Bjorken (ω) coincide con el momento fraccional del protón que porta el partón (x , desde entonces x_{bj})
- ⇒ Scaling es una predicción exacta del modelo de partones

- un cálculo sencillo nos lleva a:

$$\left. \frac{d\sigma}{dx dQ^2} \right|_{ep \text{ inelástico}} = \sum_{\text{partons}} \left. \frac{d\sigma}{dQ^2} \right|_{e \text{ parton}(xP) \text{ elástico}}$$

y las funciones de estructura:

$$\nu W_2 = F_2(x) = \frac{1}{2} \left[\frac{4}{9} u(x) + \frac{1}{9} d(x) + \frac{4}{9} \bar{u}(x) + \dots \right] = 2x F_1(x) = 2x(m_p W_1)$$

⇒ interacción fuerte en $u(x), d(x)$

Modelo de partones/quarks

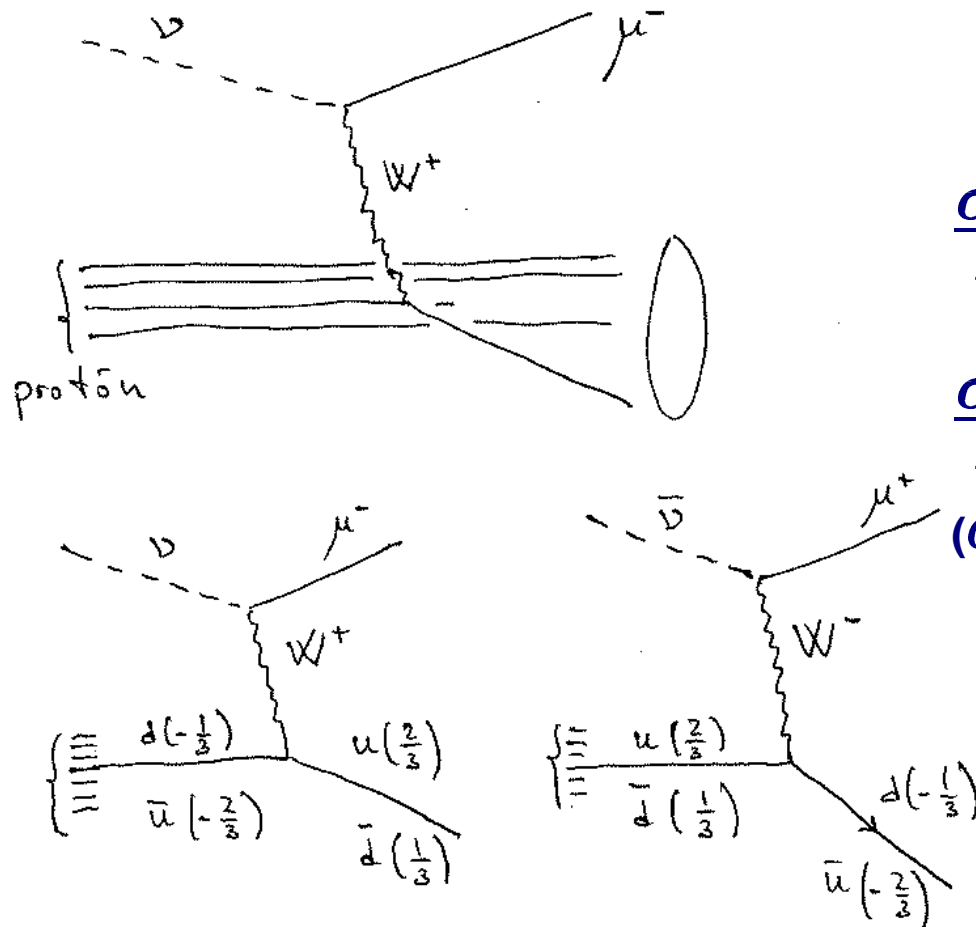
(L.A. 1973)

- Predicciones inequívocas en ep , en

$$\frac{1}{4} < \frac{F_2^{en}(x)}{F_2^{ep}(x)} < 4 ; \quad \frac{F_2^{en}(x)}{F_2^{ep}(x)} \xrightarrow{x \rightarrow 0} 1$$

Confirmadas en programa experimental SLAC 1969-1972

- Predicciones inequívocas en νp (i interacción débil !)



Bjorken (1969) ...

$$\frac{\sigma^{\nu}}{E} = 1.56 [Q + \frac{1}{3}\bar{Q}] 10^{-38} \text{ cm}^2/\text{GeV}$$

$$\frac{\sigma^{\bar{\nu}}}{E} = 1.56 [\bar{Q} + \frac{1}{3}Q] 10^{-38} \text{ cm}^2/\text{GeV}$$

(Q : momento fraccional total quarks valencia)

$$\frac{\sigma^{\bar{\nu}}}{\sigma^{\nu}} \approx \frac{1}{3}$$

Modelo de partones/quarks

(L.A. 1973)

Dispersión Inelástica νp

(P.L. sept. 1973)

- Cámara burbujas Gargamelle

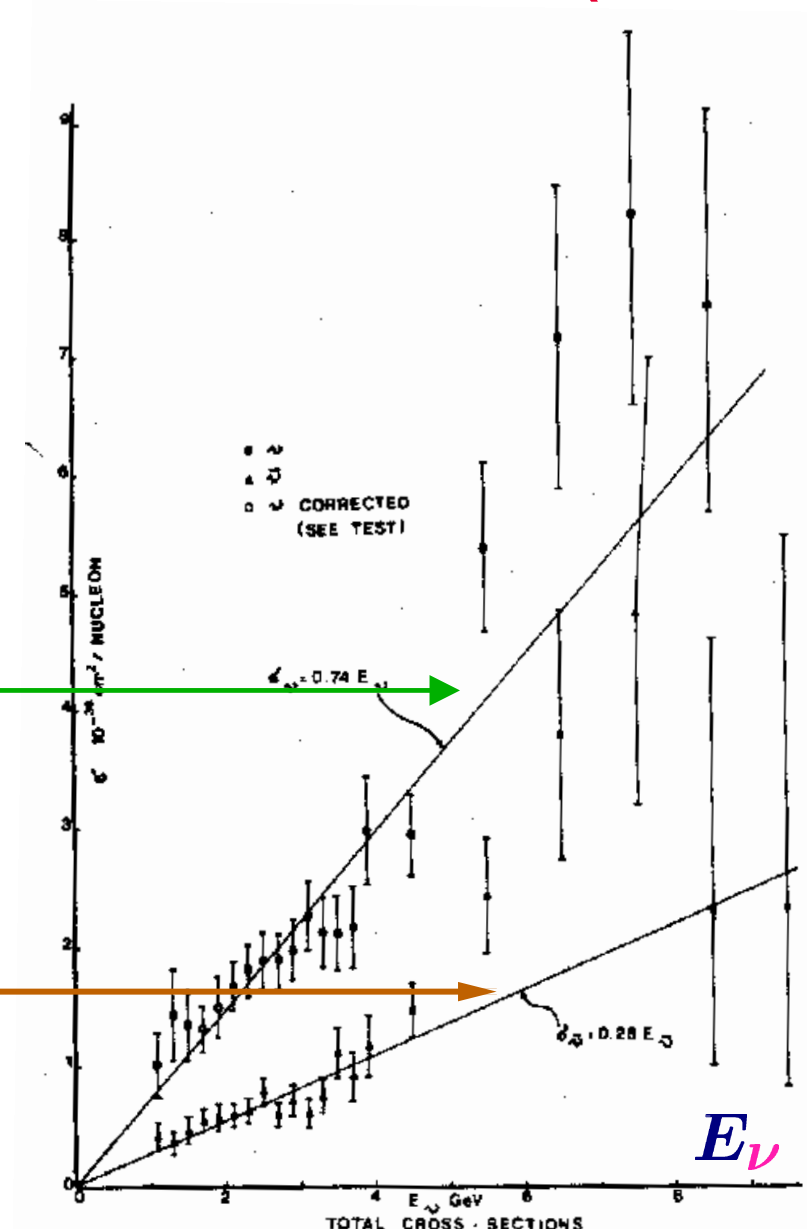
- Haz de $\nu, \bar{\nu}$ del CERN-PS

(p.ej. $\pi^+ \rightarrow \mu^+ \nu_\mu, \pi^- \rightarrow \mu^- \bar{\nu}_\mu$)

$$\frac{\sigma_{\bar{\nu}}}{\sigma_\nu} = 0.38 \approx \frac{1}{3}$$

$$\sigma_\nu = 0.74 E_\nu$$

$$\sigma_{\bar{\nu}} = 0.28 E_\nu$$



⇒ Modelo de partones ≈ correcto

⇒ Cualquier teoria de las interacciones fuertes tiene que aproximar se a modelo de partones, tiene que contener scaling

¿ dónde están los quarks ?, ¿ cómo se forman los hadrones ?

Libertad Asintótica

2 x PRL jun. 1973 (Gross, Wilczek, Politzer, Nobel 2004)

- Simplificacion:

$$\alpha_s(E) = \frac{12\pi}{(33-2n_q)\log(E/\Lambda)^2}$$

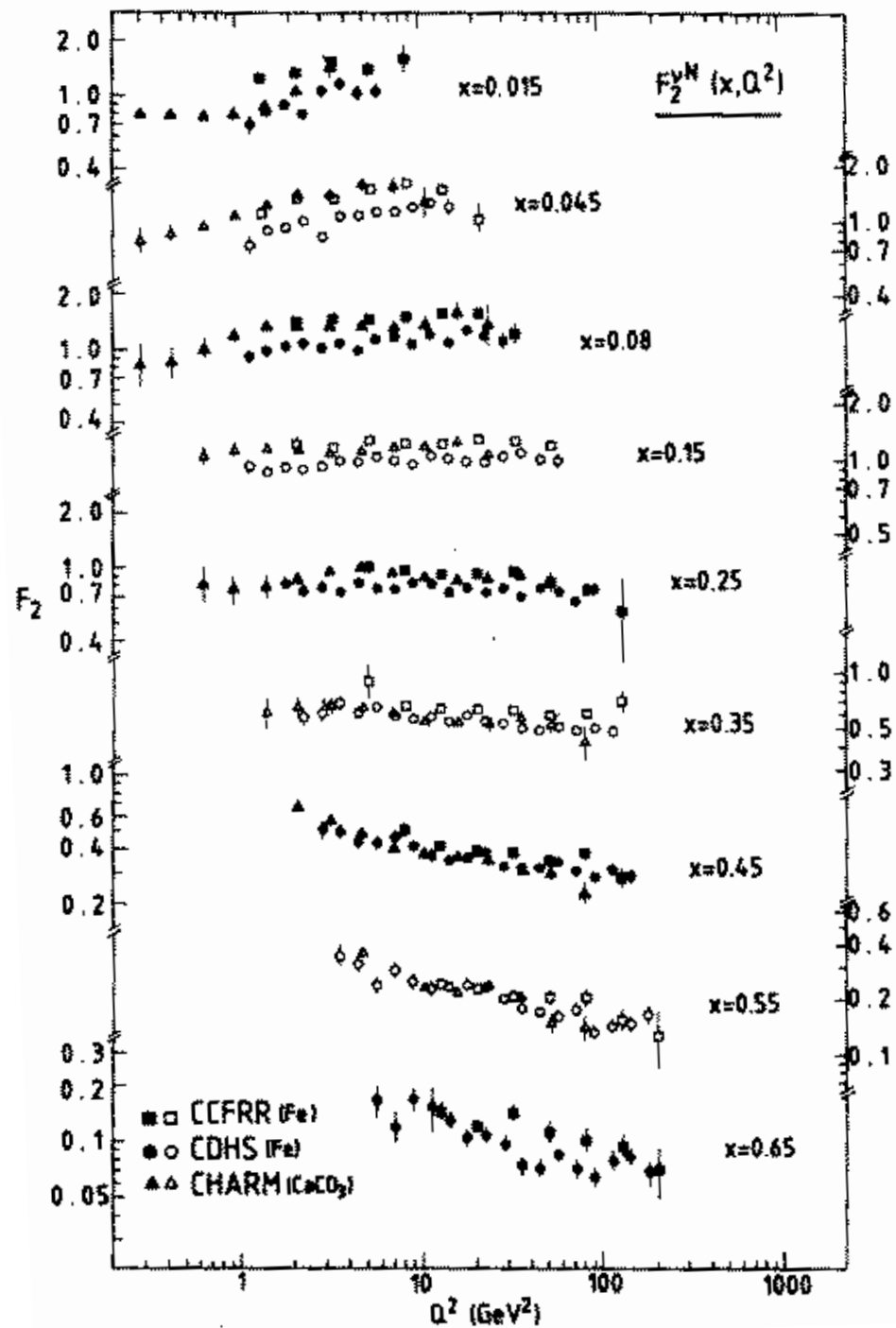
Λ a medir; $\Lambda \sim 0.2$ GeV

- ⇒ Predice Libertad Asintótica
- ⇒ Ademas predice (a confirmar por experimento):
 - desviación logarítmica a “Scaling”
 - variacion logarítmica de constante de acople fuerte
- ⇒ Puede contemplar confinamiento

Confirmación experimental de la desviación a “Scaling”

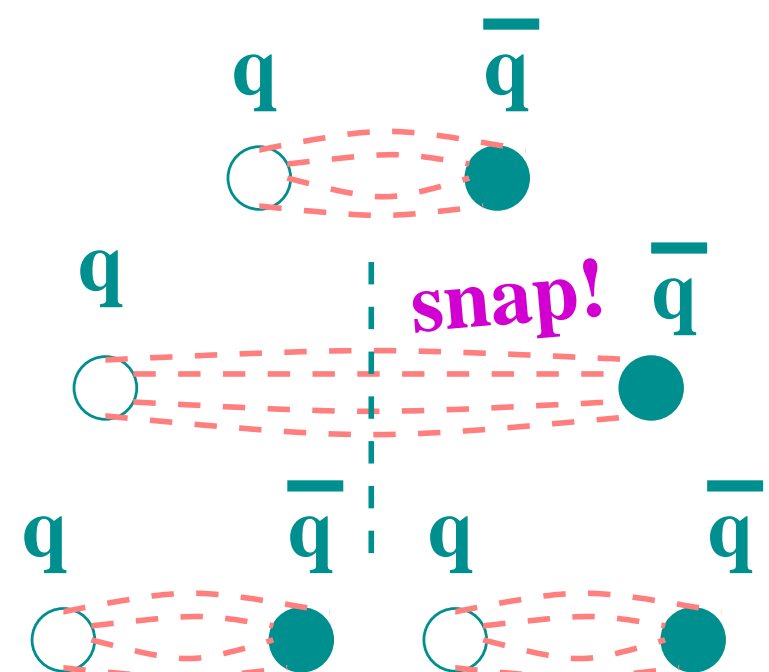
Resultados de varios experimentos de dispersión ν -nucleon (~ 1985)

⇒ clara desviación logarítmica



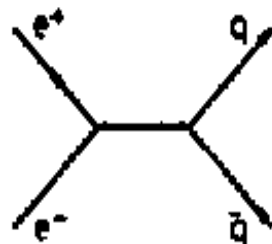
Un asunto no entendido totalmente “Confinamiento”

- Cálculos en el Retículo han evidenciado la capacidad de QCD de formar hadrones a partir de los quarks ...
... ¿de cualquier energía ?
- La energía potencial para separar dos quarks aumenta linealmente con su distancia
 - más favorable energéticamente la creación de un par $q\bar{q}$ del vacío
 - formación de nuevos hadrones
 - Un chorro (jet) de hadrones en la dirección del quark original
... en vez de este ...

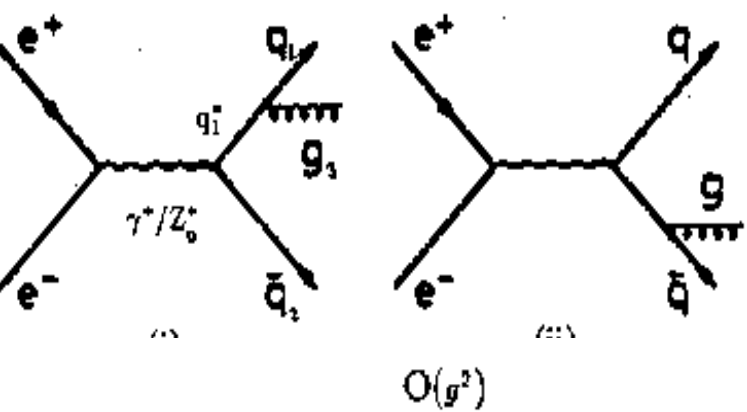


Producción de chorros en e^+e^-

TASSO en PETRA ($\sqrt{s} = 14 - 45 \text{ GeV}$)



$O(g^0)$



$O(g^2)$

$e^+e^- \rightarrow q\bar{q} gg$

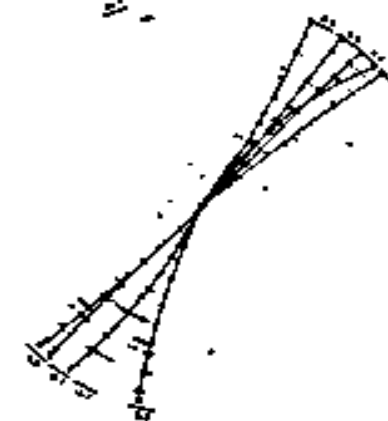
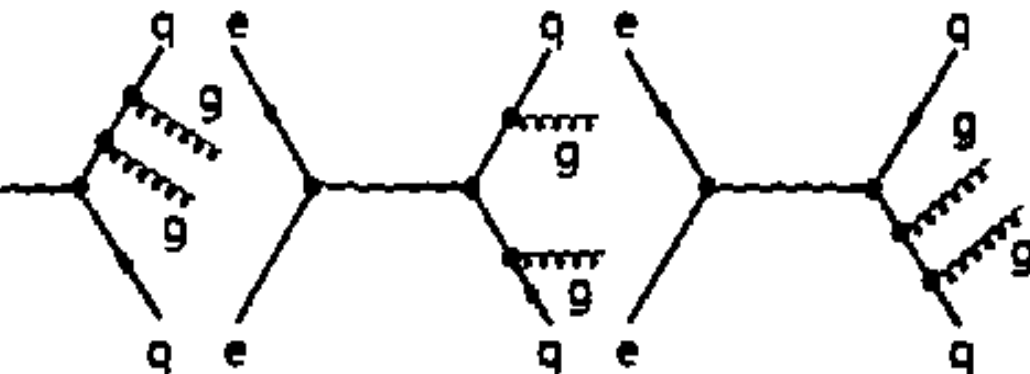


Figure 1.2a: A two jet event observed in the TASSO detector

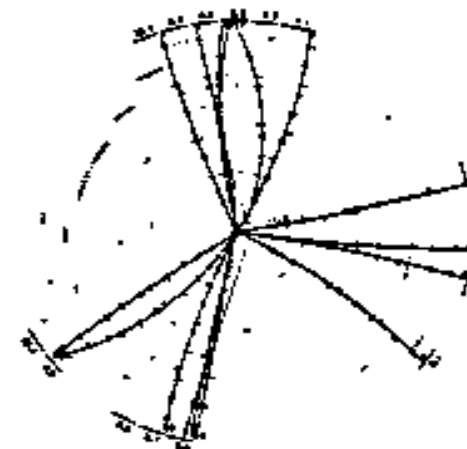


Figure 1.2b: A three jet event observed in the TASSO detector

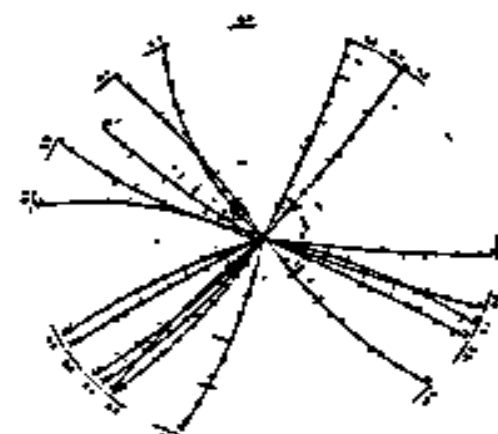
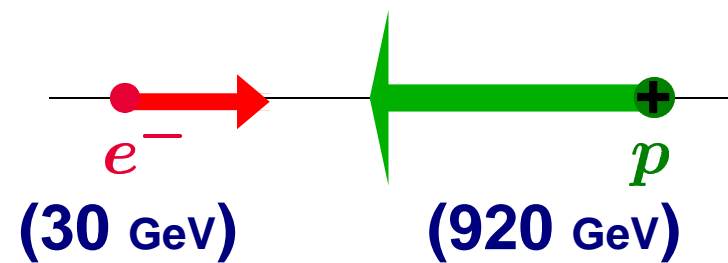


Figure 1.2c: A four jet event observed in the TASSO detector

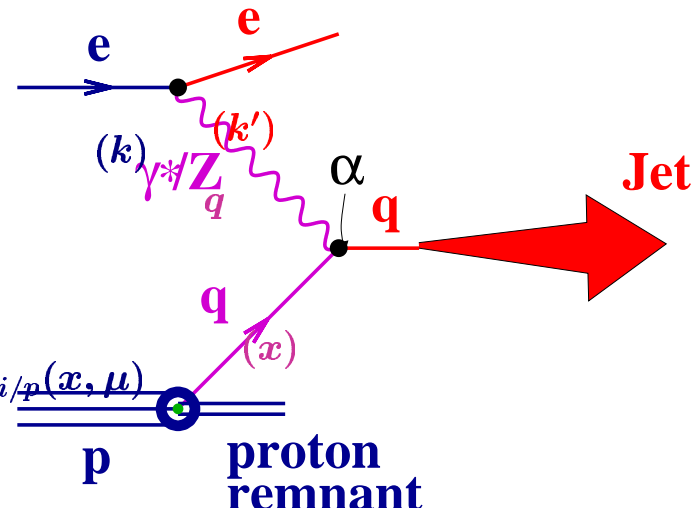
Resultados Experimentales Actuales

HERA

HERA:

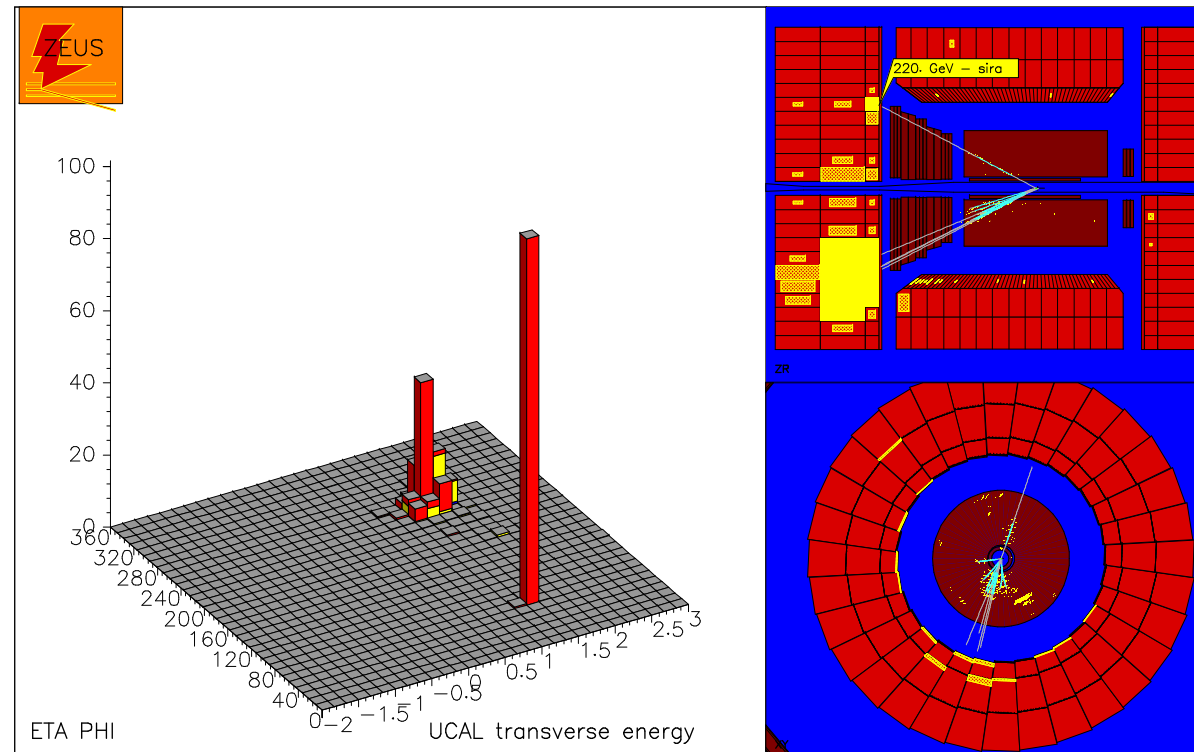


- orden 0 en QCD ($\mathcal{O}(\alpha^1 \alpha_s^0)$):

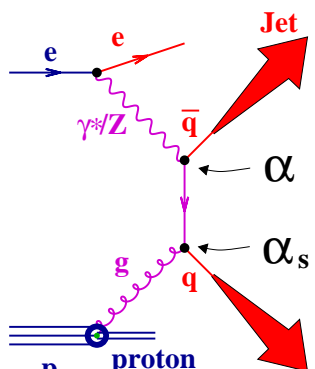


$$ep \rightarrow e + \text{jet} + X$$

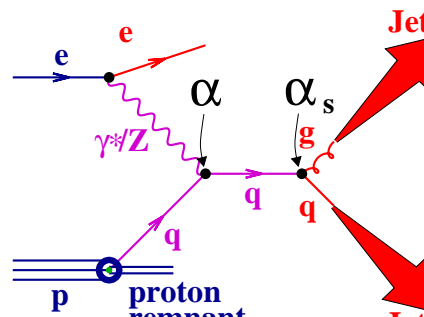
(quark-parton model)



- First order in QCD ($\mathcal{O}(\alpha^1 \alpha_s^1)$):



$$ep \rightarrow e + \text{jet} + \text{jet} + X$$



$$ep \rightarrow e + \text{jet} + \text{jet} + X$$

- Ajuste a:
→ datos ZEUS

$$F^p_2(x, Q^2)_{ZEUS}$$

→ $\mu p, \mu d$ data:

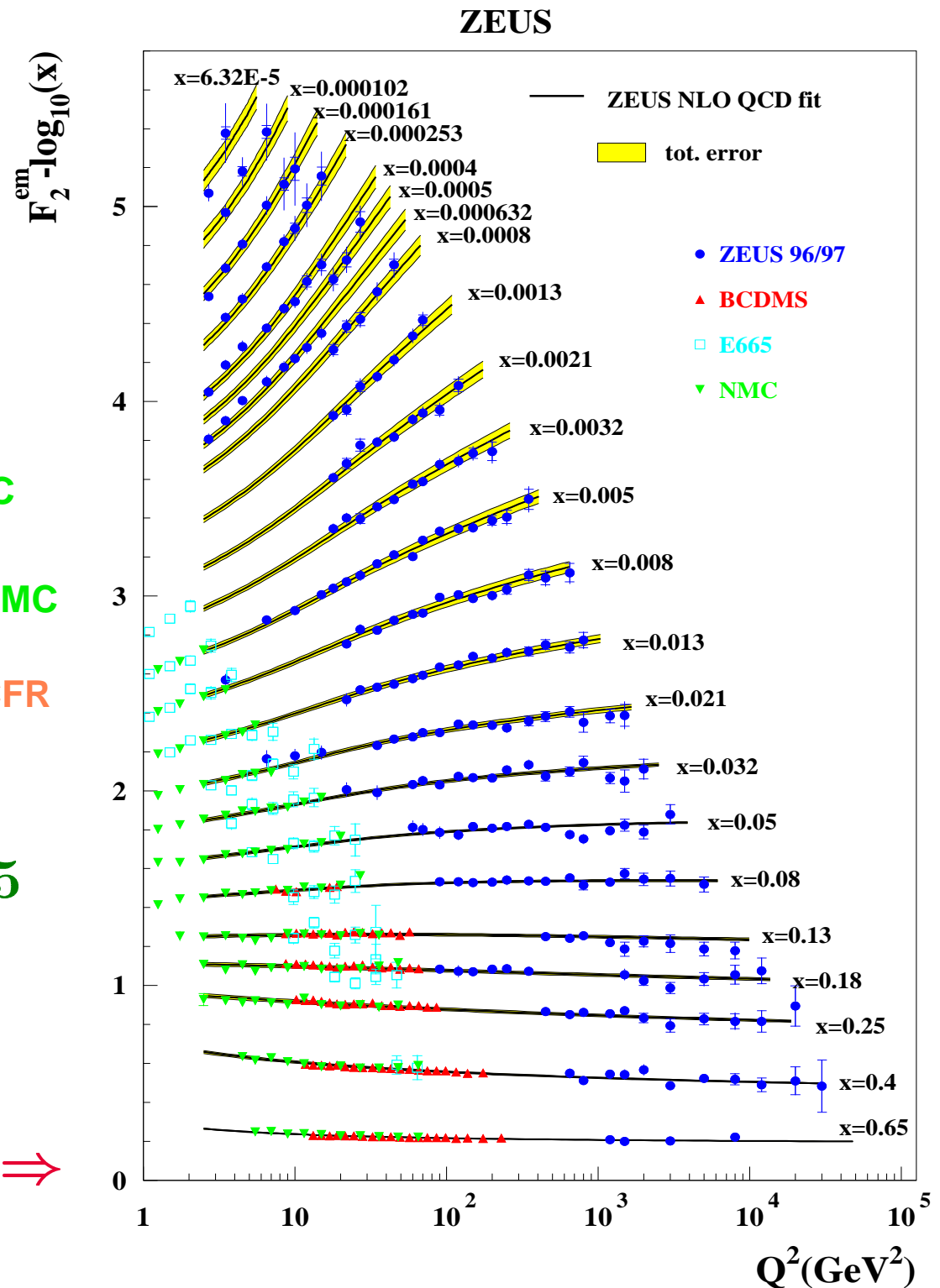
$$F^{p,d}_2(x, Q^2)_{BCDMS, E665, NMC}$$

$$\rightarrow F^p_2(x, Q^2) / F^d_2(x, Q^2)_{NMC}$$

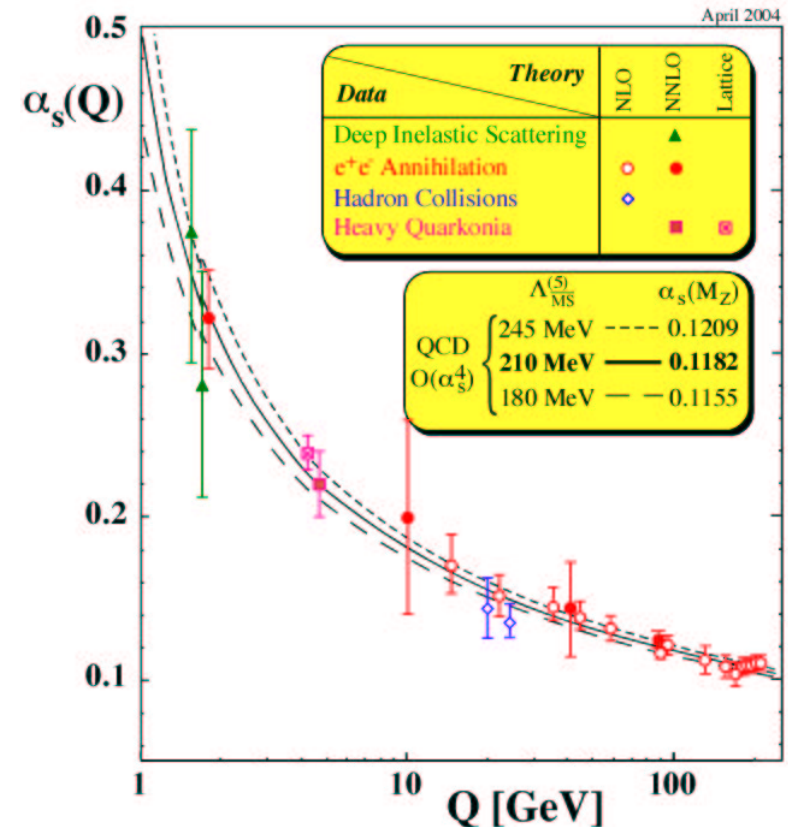
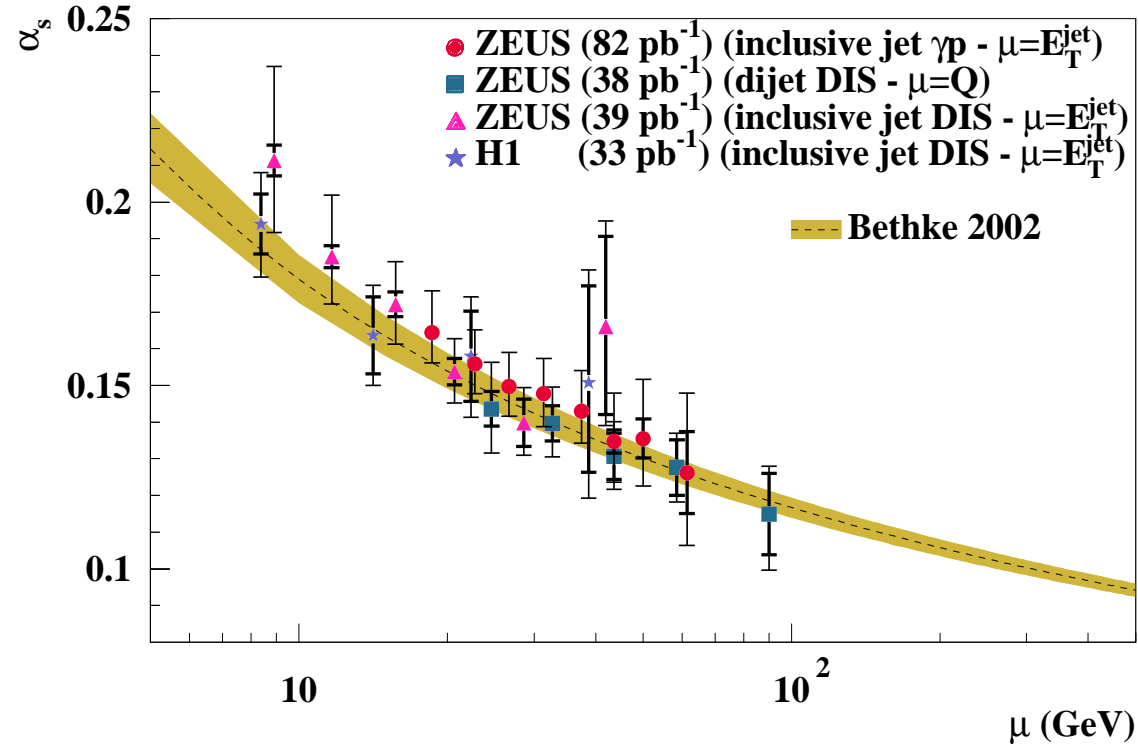
$$\rightarrow \nu Fe \text{ data: } xF^p_3(x, Q^2)_{CCFR}$$

- En $2.5 < Q^2 < 30000 \text{ GeV}^2$,
 $6.3 \times 10^{-5} < x_{bj} < 0.65$

- Evolución QCD:
DGLAP NLO con $Q_0^2 = 7 \text{ GeV}^2 \Rightarrow$



Medida directa de la variación de α_s con E



Medidas ZEUS realizadas por miembros del
Grupo Experimental de Altas Energías del
Dept. de Física Teórica
(Terron, Glasman, Gonzalez, Tassi ...)

A ser presentado por Wilczek en ceremonia nobel